



БИООРГАНИЧЕСКАЯ ХИМИЯ

том 15 * № 3 * 1989

УДК 577.433.4:541.127

СПЕЦИФИЧНАЯ К ПОСЛЕДОВАТЕЛЬНОСТИ МОДИФИКАЦИЯ ДВУХЦЕПОЧЕЧНОЙ ДНК АЛКИЛИРУЮЩИМ ПРОИЗВОДНЫМ ОЛИГОДЕЗОКСИРИБОНУКЛЕОТИДА РТ(СТ)₆

Подуст Л. М., Гайдамаков С. А., Абрамова Т. В.,
Власов В. В., Горн В. В., Федорова О. С.

Новосибирский институт биоорганической химии
Сибирского отделения Академии наук СССР

Показано, что реагент $[n\text{-ClCH}_2\text{CH}_2\text{N}(\text{CH}_3)\text{C}_6\text{H}_4\text{CH}_2\text{NH}]pT(\text{CT})_6$ в слабокислых средах модифицирует двухцепочечный фрагмент ДНК длиной 120 п.о., содержащий последовательность A(GA)₆T(CT)₆, по единственному нуклеотидному остатку G²⁹, расположенному вблизи этой последовательности в полинуклеотидной цепи. Положение места модификации указывает на протекание реакции в составе трехцепочечного комплекса, когда олигонуклеотидная часть реагента имеет ориентацию, параллельную цепи ДНК, состоящей из пуриновых нуклеотидов. Из анализа зависимости степени модификации от концентрации реагента оценена константа связывания реагента с ДНК, равная $(0,95 \pm 0,03) \cdot 10^5 \text{ M}^{-1}$ (25°C , pH 5,3, $[\text{NaCl}] = 0,1 \text{ M}$). Показано, что модификация реагентом $[n\text{-ClCH}_2\text{CH}_2\text{N}(\text{CH}_3)\text{C}_6\text{H}_4\text{CH}_2\text{NH}]pT(m^5\text{CT})_6$ характеризуется теми же количественными параметрами, что и в случае вышеуказанного реагента.

Направленная химическая модификация и специфическое расщепление двухцепочечных ДНК могут быть проведены с помощью реакционноспособных производных олигонуклеотидов, комплементарных к таким последовательностям в ДНК, которые способны образовывать трехцепочечные комплексы [1–3]. Известно, что трехцепочечные комплексы образуют пуриновые полинуклеотидные последовательности, которые способны присоединять две пуримидиновые полинуклеотидные цепи, одна из которых имеет антипараллельную ориентацию и связывается уотсон-криковскими водородными связями, а вторая — параллельную ориентацию и связывается хугстеновскими водородными связями с пуриновыми основаниями. Установлено, что трехспиральные комплексы образуются не только для гомонуклеотидных последовательностей [4], но и в случае последовательностей с чередующимися остатками G и A в одной цепи и C и T в двух других [5].

Недавно нами было показано [2, 3], что олигоцитидилаты, несущие на 5'-конце алкилирующую группу $\text{ClCH}_2\text{NH(pC)}_n$ ($n=9,15$), модифицируют в слабокислых средах двухспиральную ДНК в районе участка G₁₈·C₁₈, причем положение точек модификации соответствует параллельной ориентации олигонуклеотидной цепи реагентов и последовательности oligo(G) в ДНК.

В работе [4] была проведена специфичная к последовательности модификация двухцепочечных ДНК-мишней, содержащих участки oligo(A) · oligo(T) и oligo(GA) · oligo(TC), реакционноспособными производными пуримидиновых олигонуклеотидов длиной 11–15 звеньев, несущих группу Fe(II)-EDTA, ковалентно присоединенную к 5'-положению одного из тиминов. Из-за свойств реакционной группы в данной работе не удалось провести модификацию при pH < 7, что необходимо для образования структур, содержащих тройки оснований C·G·C⁺, а также в присутствии двухвалентных катионов Mg²⁺ и Ca²⁺, которые должны стабилизировать тройную спираль. Использованная в работах [2, 3] алкилирующая группировка

Сокращения: RCl — n-(N-метил-N-2-хлорэтиламино)фенил, TIPDSi — 1,1',3,3'-тетраизопропилдисилокса-1,3-диильная защитная группа; префикс «d» везде опущен.



Рис. 1. Структура ДНК-рестрикта и его комплекса с реагентом

ка, лишенная этих ограничений, позволяет проводить модификацию вплоть до pH 3, когда фосфамидная связь реагента еще не расщепляется [6]. В связи с этим в настоящей работе оказалось возможным провести изучение оптимальных условий модификации последовательности oligo(GA) · oligo(TC) в ДНК алкилирующим производным олигонуклеотида pT(CT)_n.

В качестве ДНК-мишени в работе использовали рестриктный фрагмент из рекомбинантной плазмиды pUR292 7b, содержащей встроенный фрагмент кДНК вируса клещевого энцефалита. С помощью эндонуклеаз рестрикции BamHI и HindIII из этого фрагмента вырезали двухцепочечную ДНК длиной 120 п. о., в составе которой имелась последовательность из 13 чередующихся пуриновых нуклеотидов — 31—43 (рис. 1). В цель, содержащую эту последовательность, по HindIII-сайту вводили метку ³²P и модифицировали реагентом C1CH₂NH₂T(CT)_n при различных значениях pH. Концентрация реагента была много больше концентрации ДНК-мишени. Обнаружено, что при проведении реакции в интервале pH 4,0—6,5 модификация имеет место. Об этом свидетельствует полоса с меньшей электрофоретической подвижностью, чем исходная ДНК, при электрофорезе реакционной смеси в 6% ПААГ в неденатурирующих условиях. Если перед проведением электрофореза реакционную смесь обработать 1 M раствором пиperiцина, то эта полоса, соответствующая продукту модификации, исчезает и появляется новая, отвечающая расщеплению по остатку G²⁹ (рис. 2). Модификация по этому остатку может протекать только в случае параллельной ориентации олигонуклеотидной части реагента и пуриновой нуклеотидной последовательности в ДНК. Это означает, что модификация ДНК протекает в составе трехцепочечного комплекса (его структура изображена на рис. 1).

Степень модификации за время, соответствующее полному разрыву связи C—Cl в реагенте (ζ_{∞}), равную концентрации продукта, отнесенной к исходной концентрации ДНК-мишени, рассчитывали либо с помощью денситометрического сканирования радиоавтографа, либо с помощью прямого определения радиоактивности в соответствующих полосах геля.

На рис. 3 представлена зависимость степени модификации (ζ_{∞}) по остатку G²⁹ от pH. Видно, что кривая зависимости имеет максимум при pH≈5,3. Ранее [2, 3] нами было показано, что при модификации двухцепочечной ДНК алкилирующими производными олигоцитидилатов максимальная степень модификации наблюдается при pH≈4,5, т. е. при значении, близком к рK цитидина. В данном случае значение pH, соответствующее максимуму степени модификации, сдвинуто по направлению к нейтральной области. Это согласуется с результатами работы [7], где был исследован диапазон pH, в котором последовательность oligo(GA) · oligo(TC) находится в виде тройной спирали.

Для выяснения роли ионов Mg²⁺ в образовании трехцепочечного комплекса между реагентом и фрагментом ДНК была изучена зависимость степени модификации от концентрации ионов Mg²⁺ при pH 5,3. Оказалось, что степень модификации меняется незначительно: от 17% при [Mg²⁺]=0

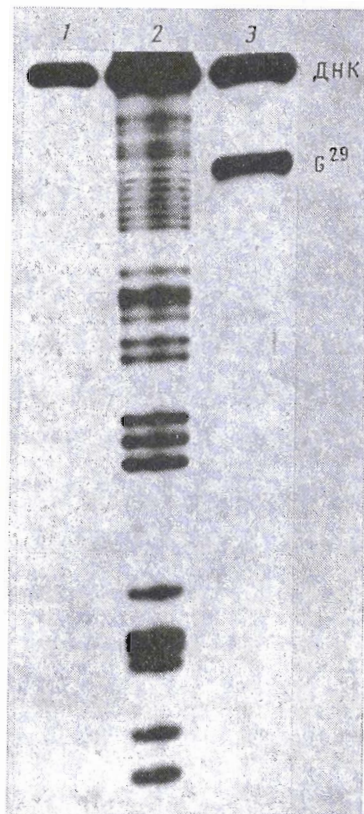


Рис. 2

Рис. 2. Электрофорограмма разделения продуктов модификации рестриктиного фрагмента ДНК реагентом $\text{CIRCH}_2\text{NPrT}(\text{CT})_6$. 1 – исходная ДНК; 2 – ДНК, частично расщепленная по остаткам G по методу Максама – Гилберта; 3 – модифицированная ДНК, обработанная пиперидином

Рис. 3. Зависимость предельной степени модификации ζ_∞ от pH. $[\text{ДНК}] \approx 1 \cdot 10^{-8}$ M, $[\text{CIRCH}_2\text{NPrT}(\text{CT})_6] = 4,16 \cdot 10^{-5}$ M

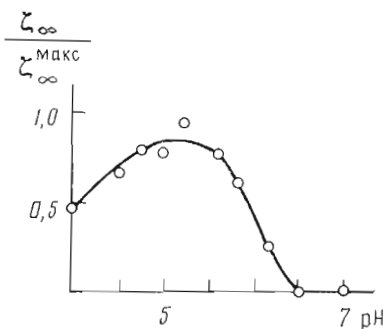


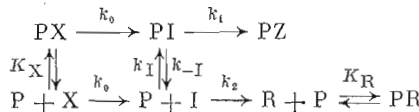
Рис. 3

до 23% при $[\text{Mg}^{2+}] = 0,1$ M ($[\text{реагент}] = 4,8 \cdot 10^{-6}$ M, буфер: 0,1 M NaCl, 0,01 M К-бифталат, 0,001 M EDTA), т. е. в данных условиях эксперимента ионы Mg^{2+} не оказывают существенного влияния на эффективность образования тройной спирали.

Для определения степени модификации второй цепи ДНК-мишени, содержащей последовательность чередующихся пиримидиновых нуклеотидов, в эту цепь вводили метку ^{32}P по *Bam*H-сайту. Установлено, что степень модификации этой цепи не превышает 1%, причем модификации подвергается остаток G^{28} . Известно [8], что реакционная способность гетероциклических оснований по отношению к этилениммониевому катиону, образуемому реагентом в лимитирующей стадии реакции модификации, определяется их пуриноподобностью. Поэтому алкилирующие производные олигонуклеотидов в составе комплементарных комплексов с нуклеиновыми кислотами в первую очередь модифицируют остатки гуанозинов, находящиеся в области, пространственно доступной для реакционноспособной группы реагента. В данном случае при образовании трехцепочечного комплекса олигонуклеотидная часть реагента располагается в большой бороздке уотсон-криковской двойной спирали ДНК-мишени (рис. 1). Поэтому можно ожидать, что наиболее вероятными точками модификации в этом случае являются атомы N7 гуанинов обеих цепей, не участвующие в образовании хугстеновских водородных связей с остатками цитозина реагента, т. е. находящиеся за пределами тройной спирали и пространственно доступные действию реагента. Этим объясняется тот факт, что преимущественно модифицируется остаток G^{29} верхней (рис. 1) цепи, тогда как в нижней цепи нет остатка гуанина в положении, оптимальном для действия реагента.

Кинетическая схема механизма модификации нуклеиновых кислот алкилирующими производными олигонуклеотидов выглядит следующим об-

разом [9]:



где Р — нуклеиновая кислота-мишень, X — реагент, I — промежуточный этилениммониевый катион, образующийся из реагента в лимитирующей стадии, R — продукт гидролиза реагента, PZ — продукт модификации нуклеиновой кислоты; PX, PI, PR — соответствующие комплексы с мишенью; K_X , K_R — константы ассоциации для PX и PR; k_0 , k_1 , k_2 , k_i , k_{-1} — константы скорости реакций, указанных на схеме. Полагая концентрации I и PI квазистационарными, а концентрации PX и PR квазивновесными, а также считая, что $K_X = K_R$, в случае, когда $k_1[P] \ll k_2$ и P_0 (полнная концентрация мишени) много меньше начальной концентрации реагента x_0 , можно получить выражение для предельной степени модификации (ξ_∞) нуклеиновой кислоты-мишени от концентрации реагента (x_0) [9]:

$$\xi_\infty = 1 - \exp [-\gamma_{\text{эфф}} K_X x_0 / (1 + K_X x_0)], \quad (1)$$

где

$$\gamma_{\text{эфф}} = [1 + k_1 / (k_2 K_X)] / (1 + k_{-1} / k_1).$$

Из выражения (1) видно, что оно линеаризуется в координатах

$$1/\ln(1 - \xi_\infty) - 1/x_0.$$

Данная схема, предложенная для модификации одноцепочечных нуклеиновых кислот, применима и для случая модификации двухцепочечных ДНК. На рис. 4 представлена экспериментальная зависимость предельной степени модификации двухцепочечной нуклеиновой кислоты-мишени по остатку G²⁹ от концентрации реагента при pH 5,3 и ее линейная анаморфоза. Как видно, экспериментальные точки хорошо укладываются на линейную зависимость $1/\ln(1 - \xi_\infty)$ от $1/x_0$. Следовательно, в условиях наших экспериментов, когда концентрация нуклеиновой кислоты-мишени очень мала ($P_0 = 1 \cdot 10^{-8}$ М), выражение (1) может быть использовано для количественного описания экспериментальных результатов. Обработка величин, представленных на линейной анаморфозе рис. 4б, по методу наименьших квадратов привела к следующим значениям константы связывания реагента с ДНК-мишенью (K_X) и параметра $\gamma_{\text{эфф}}$:

$$K_X = (0,95 \pm 0,03) \cdot 10^5 \text{ M}^{-1}; \quad \gamma_{\text{эфф}} = 0,53 \pm 0,02.$$

Значение K_X свидетельствует о том, что средство используемого в работе реагента к двойной спирали ДНК на несколько порядков ниже, чем величина, ожидаемая для средства с одноцепочечной ДНК [10]. Отличие параметра $\gamma_{\text{эфф}}$ от единицы указывает, вероятно, на наличие обмена между промежуточной частицей I, находящейся в растворе и в комплексе с ДНК-мишенью PI.

В работе [11] было показано, что если пиримидиновая полинуклеотидная последовательность вместо цитидина содержит 5-метилцитидин, то трехцепочечные комплексы, включающие в себя тройки оснований $\text{m}^5\text{C} \cdot \text{G} \cdot \text{m}^5\text{C}$, способны образовываться в нейтральных средах. С целью выяснения возможности проведения модификации исследуемого фрагмента ДНК в нейтральных средах был синтезирован реагент $\text{Cl}(\text{CH}_2\text{NH}_2)_2 \cdot (\text{m}^5\text{CT})_6$. В отличие от работы [11] в данном случае предполагаемые трехспиральные комплексы должны включать тройки оснований $\text{C} \cdot \text{G} \cdot \text{m}^5\text{C}$. Экспериментально нами установлено, что модификация данным реагентом исследуемого ДНК рестрикта протекает, однако количественные характеристики (зависимость ξ_∞ от pH и концентрации реагента) практически не отличаются от данных для неметилированного аналога.

Таким образом, в настоящей работе показано, что алкилирующие производные олигонуклеотидов, состоящих из чередующихся остатков цитидина (или 5-метилцитидина) и тимидина, модифицируют в ДНК последо-

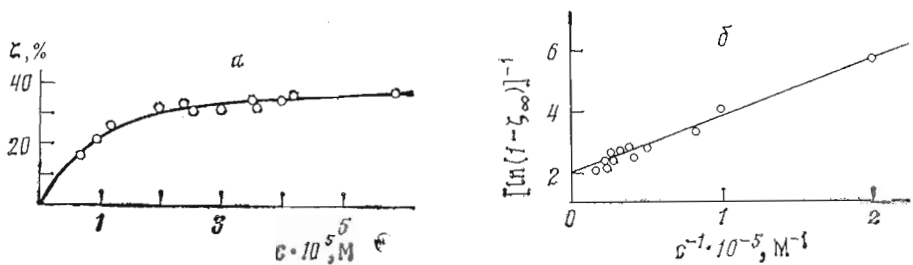


Рис. 4. Зависимость предельной степени модификации ζ_∞ от концентрации реагента $\text{CIRCH}_2\text{NHPrT}(\text{CT})_6$ (рН 5,3) (а) и ее линейная аноморфоза (б)

вательность $\text{oligo(GA)} \cdot \text{oligo(TC)}$ в составе трехцепочечного реакционного комплекса, образующегося в слабокислых средах. Поскольку двухцепочечные комплексы $\text{oligo(G)} \cdot \text{oligo(C)}$ и $\text{oligo(GA)} \cdot \text{oligo(TC)}$ могут присоединять вторую пиримидиновую нуклеотидную цепь и в нейтральных рН, как это следует из данных [1, 7, 10], можно предположить, что путем увеличения длины олигонуклеотидной части реагента или создания каких-либо других условий, стабилизирующих комплекс реагента с ДНК-мишенью, можно провести модификацию последовательности $\text{oligo(GA)} \cdot \text{oligo(TC)}$ в нейтральных средах.

Экспериментальная часть

В работе использовали акриламид, N,N' -метиленбисакриламид, трис, dNTP (Serva, ФРГ), рестриктазы *Bam*H I и *Hind* III (НПО «Фермент», Вильнюс). Остальные реагенты были квалификации ос. ч. или х. ч.

Рекомбинантная плазмида pUR292 7b была получена из вектора pUR292, в который по *Hind* III-сайту был встроен фрагмент кДНК вируса клещевого энцефалита длиной 2050 п. о. Рекомбинантную плазмиду выращивали в клетках *E. coli* K12 M15 и выделяли по методу [12].

Рестрикционный фрагмент ДНК длиной 120 п. о. получали расщеплением ДНК рекомбинантной плазмиды pUR292 7b эндонуклеазами рестрикции *Bam*H I и *Hind* III.

Метку ^{32}P по 3'-концу цепи ДНК, содержащей пуриновую олигонуклеотидную последовательность, вводили по *Hind* III-сайту, а пиримидиновую — по *Bam* H I-сайту с помощью ДНК-полимеразы I (фрагмент Кленова) и $[\gamma-^{32}\text{P}]$ дезоксинуклеозидтрифосфатов. Меченный фрагмент ДНК выделяли с помощью электрофореза в 4% ПААГ, электроэлюции и осаждения спиртом.

Олигонуклеотид $\text{pT}(\text{CT})_6$ был синтезирован триэфирным методом [13]. Реагент $\text{CIRCH}_2\text{NHPrT}(\text{CT})_6$ получали по методу [14], его очищали с помощью микроколонической обращенно-фазовой хроматографии на колонках с сорбентом Nucleosil 100-5C-18 (градиент концентрации метанола в 0,02 М три-ацетатном буфере, рН 8,0) на хроматографе «Милихром» (г. Орел).

Олигонуклеотид $\text{T}(\text{m}^5\text{CT})_6$ синтезирован фосфитамидным методом [15] на синтезаторе «Виктория-5М». 5'-Концевую фосфатную группу вводили с помощью АТР и Т4-полинуклеотидкиназы [12].

N⁴-Бензоил-5'-O-(4,4'-диметоксигидридил)-5-метил-2'-дезоксицитидин. 1 г (4,1 ммоль) тимицина обработали 1,3 мл (4,5 ммоль) 1,1',3,3'-тетраизопропил-1,3-дихлордисилоксана в 10 мл безводного пиридинина в течение 2 ч аналогично методу [16]. Затем в реакционную смесь добавляли насыщенный водный раствор NaHCO_3 , упаривали, растворяли остаток в хлороформе и промывали водой. Хлороформный раствор сушили Na_2SO_4 , фильтровали и упаривали. Затем остаток упаривали с безводным пиридином, растворяли в безводном пиридине (10 мл), добавляли 1,025 мл (6,15 ммоль) *n*-хлорфенилфосфодихлорида и 0,85 г (10,8 ммоль) 1,2,4-триазола и выдерживали 6 сут при $\sim 20^\circ\text{C}$ аналогично работе [17]. Реакционную смесь обрабатывали раствором NaHCO_3 , как указано выше. Полученное триазольное производное очищали хроматографией на силикагеле

(градиент концентрации метанола в хлороформе 0–5%) и обрабатывали 20 мл смеси конц. водный аммиак – диоксан (1 : 3) в течение 1 ч, как описано в работе [17]. Реакционную смесь упаривали, остаток высушивали упариванием с безводным пиридином, растворяли в безводном пиридине и обрабатывали 0,713 мл (6,15 ммоль) хлористого бензоила в течение 2 ч [16]. Реакционную смесь обрабатывали так же, как при введении TIPDSi-группы. После упаривания хлороформного слоя остаток растворяли в 12 мл 1 М триэтиламмонийфторида в смеси диоксан – тетрагидрофуран (1 : 1) [16]. Через 16 ч в реакционную смесь добавляли насыщенный раствор NaHCO_3 и обрабатывали как указано выше. Остаток после упаривания хлороформного слоя обрабатывали 20 мин 12 мл смеси водный раствор аммиака – пиридин (1 : 7) и упаривали. Сырой $m^5\text{dC}^{bz}$ перекристаллизовывали из метанола, выход 0,32 г (0,93 ммоль). Это количество $m^5\text{dC}^{bz}$ обрабатывали 1 ч 0,355 г (1,05 ммоль) диметокситритилхлорида в безводном пиридине (10 мл) [16]. Затем в реакционную смесь добавляли насыщенный водный раствор NaHCO_3 и обрабатывали как указано выше. Полученный $(\text{MeO})_2\text{Tr}(m^5\text{C}^{bz})$ очищали хроматографией на силикагеле (градиент концентрации метанола в хлороформе 0–5%). После осаждения гексаном получали 0,41 г (0,64 ммоль) $(\text{MeO})_2\text{Tr}(m^5\text{C}^{bz})$, что составляет 16% в расчете на исходный тимидин. Для доказательства того, что получено производное 5'-метилцитидина, с 10 мг продукта удаляли бензоильную и диметокситритильную защитные группы, полученный $m^5\text{dC}$ очищали переосаждением эфиrom. УФ-спектр: λ_{\max} 277 нм, λ_{\min} 255 нм (рН 7) и λ_{\max} 287 нм, λ_{\min} 245 нм (рН 1), что совпадает с литературными данными [18]. ^1H -ЯМР-спектр (CD_3OD), δ, м.д.: 8,23 (H6), 2,03 (5-CH₃).

Модификацию ДНК проводили в буфере: 0,01 М бифталат калия, 0,1 М NaCl, 0,001 М EDTA, рН 4,0–6,2 при 25°C. Реакционную смесь инкубировали до полной ионизации связи C–Cl в реагенте в течение 25 ч, что в 5 раз превышает время полуреакции [19]. Модифицированную ДНК осаждали 10-кратным по объему $\ddot{\text{ы}}\text{бытком}$ 2% LiClO₄ в ацетоне. Для расщепления по остаткам модифицированных цитидинов ДНК растворяли в 10 мкл воды, добавляли 10 мкл диоксана и 20 мкл гидразингидрата и инкубировали 30 мин при 0°C [20]. Затем ДНК осаждали этаполом и промывали 5% ацетилацетоном для более полного удаления гидразингидрата, далее проводили расщепление пиперицином [21]. Затем ДНК осаждали, промывали этаполом, растворяли в 4 мкл 80% формамида, содержащего по 0,05% бромфенолового синего и ксиленцианола, напосили на 10% ПААГ (30×20×0,04 см), содержащий 7 М мочевину, и проводили электрофорез при напряжении 50 В/см. Для радиоавтографии геля использовали рентгеновскую пленку РМ-1.

Для определения степени модификации (ζ_∞) проводили либо денситометрирование рентгеновской пленки с помощью лазерного сканера UltroScan XL (LKB, Швеция) и рассчитывали отношение площадей пиков продукта к сумме площадей пиков продукта и исходной ДНК, либо вырезали из геля соответствующие полосы, просчитывали их радиоактивность по Черенкову на счетчике Minibeta (LKB, Швеция) и рассчитывали отношение радиоактивностей.

ЛИТЕРАТУРА

1. Mozer H. E., Dervan P. B. // Science. 1987. V. 238. № 4827. P. 645–650.
2. Fedorova O. S., Knorre D. G., Podust L. M., Zarytova V. F. // FEBS Lett. 1988. V. 228. № 2. P. 273–276.
3. Knorre D. G., Зарытова В. Ф., Подуст Л. М., Федорова О. С. // Докл. АН СССР. 1988. Т. 300. № 4. С. 1006–1009.
4. Зенгер В. Принципы структурной организации пуклевидных кислот. М.: Мир, 1987. С. 292.
5. Lee J. S., Johnson D. A., Morgan A. R. // Nucl. Acids Res. 1974. V. 6. № 9. P. 3073–3091.
6. Бабкин И. В., Бугорин А. С., Иванова Е. М., Райт А. С. // Биохимия. 1988. Т. 53. № 3. С. 384–393.
7. Antao V. P., Gray D. M., Ratliff R. L. // Nucl. Acids Res. 1988. V. 16. № 2. P. 719–738.

8. Карпова Г. Г. // Изв. СО АН СССР. Сер. хим. 1987. № 12. Вып. 4. С. 82–95.
9. Кнорре Д. Г., Чимитова Т. А. // Молекуляр. биология. 1978. Г. 12, № 4. С. 814–821.
10. Breslauer K. J., Frank R., Blöcker H., Marky L. A. // Proc. Nat. Acad. Sci. USA. 1986. V. 83. № 11. P. 3746–3750.
11. Lee J. S., Woodsworth M. L., Labiner L. J. P., Morgan A. R. // Nucl. Acids Res. 1984. V. 12, № 16. P. 6603–6614.
12. Маниатис Т., Фрич Э., Сэмбук Дж. Молекулярное клонирование. М.: Мир, 1985. С. 132–136.
13. Зарытова В. Ф., Иванова Е. М., Романенко В. П. // Биоорганическая химия. 1983. Т. 9. № 4. С. 518–524.
14. Годовикова Т. С., Зарытова В. Ф., Халимская Л. М. // Биоорганическая химия. 1986. Т. 12, № 4. С. 475–481.
15. Грязнов С. М., Гори В. В., Зарытова В. Ф., Кумарев В. П., Левина А. С., Полищук А. С., Поганов В. К., Потемкин Г. А., Средин Ю. Г., Шабарова З. А. // Изв. СО АН СССР. Сер. хим. 1987. Вып. 1. С. 119–123.
16. Oligonucleotide synthesis. A practical approach./Ed. Gait M. J. Oxford Washington: IRL Press, 1984. P. 153–183.
17. Sung W. J. // J. Chem. Soc. Chem. Communns. 1981. № 20. P. 1089.
18. Dawson R. M. C., Elliott D. C., Elliott W. H., Jones K. M. Data for Biochemical Research. Oxford: Clarendon Press, 1986. P. 107.
19. Григорьева Н. И., Ломакина Т. С., Тигеева Н. Г., Чимитова Т. А. // Биоорганическая химия. 1977. Т. 3. № 2. С. 210–214.
20. Kirkegaard K., Buc H., Spassky A., Wang J. C. // Proc. Nat. Acad. Sci. USA. 1983. V. 80. № 9. P. 2544–2548.
21. Maxam A. M., Gilbert M. // Meth. Enzymol. 1980. V. 65. P. 499–560.

Поступила в редакцию
6.VII.1988

SEQUENCE-SPECIFIC MODIFICATION OF A DOUBLE-STRANDED DNA BY AN ALKYLATING DERIVATIVE OF OLIGONUCLEOTIDE pT(CT)₆

PODUST L. M., GAIDAMAKOV S. A., ABRAMOVA T. V., VLASSOV V. V., GORN V. V.,
FEDOROVA O. S.

*Novosibirsk Institute of Bioorganic Chemistry,
Siberian Division of the Academy of Sciences of the USSR*

It is shown that in slightly acidic solution ($\text{pH} \approx 5.3$) reagent $\text{CIRCH}_2\text{NHpT(CT)}_6$ ($\text{RCl} = -\text{C}_6\text{H}_4-\text{N}(\text{CH}_3)\text{CH}_2\text{CH}_2\text{Cl}$) modifies a double-stranded DNA fragment (120 b. p.) containing $\text{A(GA)}_6\cdot\text{T(CT)}_6$ sequence at a single nucleotide residue, viz. G^{29} located near to this sequence in the DNA chain. The location of this modification point suggests formation of a triple-stranded reactive complex with parallel orientation of the pyrimidine oligonucleotide moiety of the reagent and pyrime sequence of the target DNA. Analysing the modification extent dependence of the reagent concentration the association constant K_x between the reagent and DNA was calculated ($K_x = (0.95 \pm 0.03) \cdot 10^5 \text{ M}^{-1}$, 25°C , $\text{pH}=5.3$, $[\text{NaCl}]=0.1 \text{ M}$). The modification by the reagent $\text{CIRCH}_2\text{NHpT(m}^5\text{CT)}_6$ has the same quantitative characteristics as in the case of $\text{CIRCH}_2\text{NHpT(CT)}_6$.